

Obr. 1.8 Základná štruktúra interaktívnej grafickej aplikácie

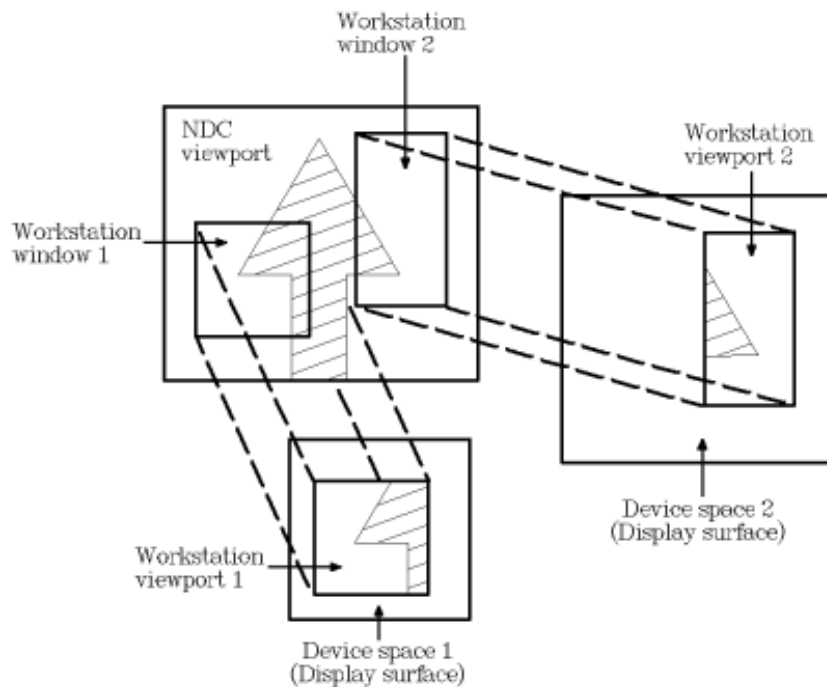
Workstation window to viewport transformation at IBM Infocenter. <http://pic.dhe.ibm.com/infocenter/zos/v1r13/index.jsp?topic=%2Fcom.ibm.zos.r13.admk100%2Fadmk1a0036.htm>

16.3 Spracovanie výstupu v oknovom systéme

Oknový systém musí mať na spracovanie výstupu aspoň tieto základné funkcie:

- Create Window (name)** - vytvorí okno s daným menom
- Set Position (xmin, ymin)** - nastaví pozíciu aktuálneho okna
- Set Size (height, width)** - nastaví veľkosť aktuálneho okna
- Select Window (name)** - určí aktuálne okno
- Show Window** - zobraz aktuálne okno
- Hide Window** - skry aktuálne okno
- Set Title (name)** - nastav meno aktuálneho okna
- Get Position (xmin, ymin)** - zisti pozíciu aktuálneho okna
- Get Size (height, width)** - zisti veľkosť aktuálneho okna
- Bring To Top** - pošli aktuálne okno na vrch všetkých okien
- Send To Bottom** - pošli aktuálne okno na dno, za všetky okná
- Delete Window** - zruš aktuálne okno

Tým sme popísali minimálnu funkčnosť oknového systému pri spracovaní výstupu, pričom algoritmické riešenia tejto funkčnej špecifikácie nás na tejto úrovni nezaujímajú, hoci niektoré úvahy môžeme naznačiť. Napr. uvedené funkcie predpokladajú obdĺžnikové okno s menom, rozmermi a pozíciou na obrazovke, súbor takýchto okien s



2.7 Zobrazenie okna na zobrazovacie pole

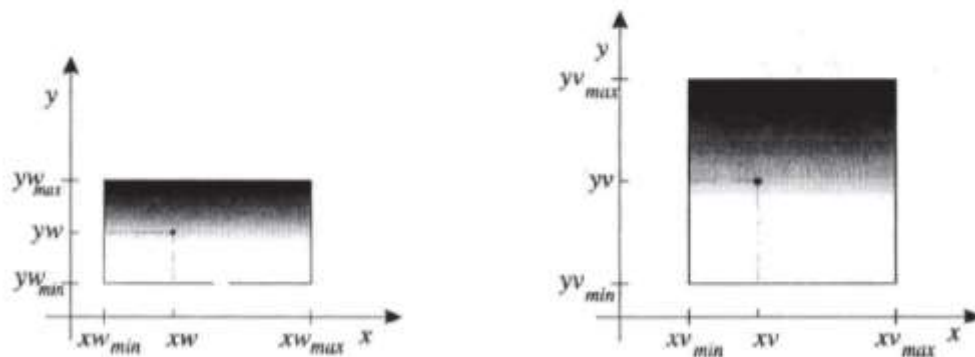
Užívateľ obvykle zadáva objekty vo svojich užívateľských súradniciach. Na zobrazenie **oblasti záujmu** si zvolí minimálne a maximálne súradnice v oboch smeroch, tzv. **okno**. Funkciu na definovanie okna viditeľnosti budeme označovať

$$\text{window}(xw_{\min}, xw_{\max}, yw_{\min}, yw_{\max}).$$

Avšak toto okno užívateľ nemusí chcieť zobraziť na celú obrazovku (zobrazovaciu časť príslušného výstupného zariadenia). Preto je prirodzené zaviesť pojem **zobrazovacie pole** resp. **záber**. Je to tá časť, na ktorú sa bude transformovať okno. Funkciu pre definovanie zobrazovacieho poľa (záberu) označíme

$$\text{viewport}(xv_{\min}, xv_{\max}, yv_{\min}, yv_{\max}).$$

Ako vyzerá transformačná matica, ktorá bude realizovať príslušné zobrazenie okna na zobrazovacie pole?



Obr. 2.7 Transformácia okna na zobrazovacie pole (záber)

Predpokladáme, že bod (xw, yw) sa zobrazí do bodu (xv, yv) , pozri obrázok 2.7. Prírodná požiadavka je, aby sa pri transformácii **zachovali pomery strán**. Preto podľa označenia z obrázku 2.7 požadujeme, aby platili tieto rovnosti

$$\frac{xw - xw_{\min}}{xw_{\max} - xw_{\min}} = \frac{xv - xv_{\min}}{xv_{\max} - xv_{\min}},$$

$$\frac{yw - yw_{\min}}{yw_{\max} - yw_{\min}} = \frac{yv - yv_{\min}}{yv_{\max} - yv_{\min}}.$$

Odtiaľ môžeme vyjadriť hodnoty xv a yv

$$xv = s_x \cdot (xw - xw_{\min}) + xv_{\min},$$

$$yv = s_y \cdot (yw - yw_{\min}) + yv_{\min},$$

kde

$$s_x = \frac{xv_{\max} - xv_{\min}}{xw_{\max} - xw_{\min}}, \quad s_y = \frac{yv_{\max} - yv_{\min}}{yw_{\max} - yw_{\min}}.$$

V tomto poslednom vyjadrení s_x a s_y sú koeficienty pre zmenu mierky z okna na záber a xv_{\min} , yv_{\min} sú relatívne hodnoty posunu. Nakoniec rovnosti môžeme upraviť na tvar, kde pre transformáciu jednej súradnice máme len jednu operáciu súčtu a násobenia:

$$xv = s_x \cdot xw + a,$$

$$yv = s_y \cdot yw + b,$$

kde

$$a = -s_x \cdot xw_{\min} + xv_{\min}, \quad b = -s_y \cdot yw_{\min} + yv_{\min}.$$

Hľadaná matica je teda

$$\begin{pmatrix} s_x & 0 & 0 \\ 0 & s_y & 0 \\ a & b & 1 \end{pmatrix} = \begin{pmatrix} s_x & 0 & 0 \\ 0 & s_y & 0 \\ -s_x \cdot xw_{\min} + xv_{\min} & -s_y \cdot yw_{\min} + yv_{\min} & 1 \end{pmatrix}.$$

V grafických systémoch sa táto matica zostrojí automaticky po zadaní funkcií *window* a *viewport*. Kvôli úspore pamäti sa zvyčajne ukladajú len prvé dva stĺpce, pretože pre afinné transformácie je tretí stĺpec rovnaký.

5.2. Rastrový rozklad úsečky	55
5.3. Rastrový rozklad kružnice	60
5.4. Vyhľadovanie (antialiasing) a hrúbka čiary	62
5.5. Vypĺňanie oblastí	64
5.6. Rastrový rozklad mnohoúhelníka	70

5.2 Rastrový rozklad úsečky

Uvedieme dva algoritmy generovania úsečiek do rastrovej formy. Pri rozklade úsečky budeme predpokladať, že oba koncové body majú celočíselné súradnice (x_1, y_1) , (x_2, y_2) .

5.2.1 Jednoduchý prírastkový algoritmus

Analytické vyjadrenie priamky, ktorá nie je rovnobežná s osou y , vyjadrujeme v tvare:

$$y = mx + b,$$

kde m je smernica priamky a b posun na osi y . Koncové body úsečky určujú priamku s parametrami m a b :

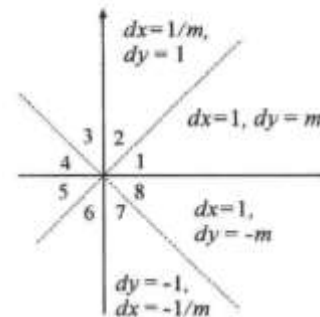
$$m = \frac{y_2 - y_1}{x_2 - x_1} \quad \text{a} \quad b = \frac{x_2 y_1 - x_1 y_2}{x_2 - x_1}.$$

Prírastkový algoritmus úsečky DDA (Digital Differential Analyzer)

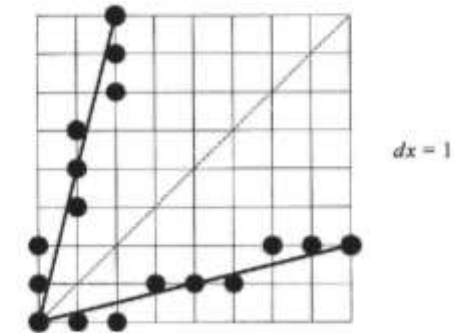
```

procedure DDA_line ( x1, y1,           { začiatkový bod P }
                    x2, y2,           { koncový bod Q }
                    colour :integer ); { farba vykreslenej úsečky }

var dx, dy, x, y, m: real;
begin
  if x1 > x2 then swap;           { zameň body, aby prvý bod bol ľavý }
  if x1 < x2 then
    begin
      dx := x2 - x1;
      dy := y2 - y1;
      m := dy/dx;
      y := y1;
      for x := x1 to x2 do
        begin
          write_pixel (x, round(y), colour); { zobraz bod (x, y) }
          y := y + m;                       { inkrementuj súradnicu y }
        end
      end
    else if y1 = y2 then write_pixel (x1, y1, colour) { zapíš len jeden bod }
    else error;
end.
  
```



Inkrementálne $dy = 1$



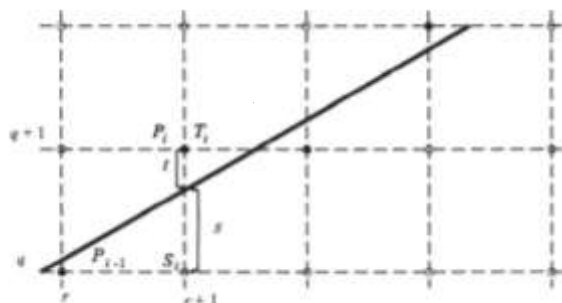
Obr. 5.1 Prírastky pre niektoré oktanty a dve úsečky v 1. a 2. oktante

Prírastkový algoritmus úsečky pre všetky oktanty

```

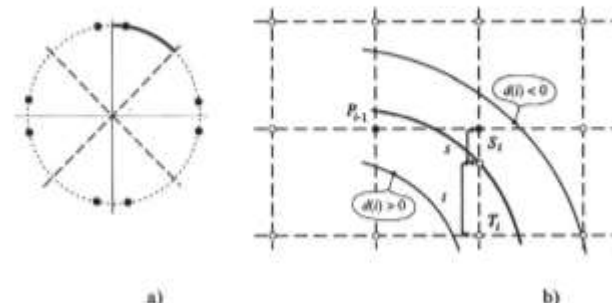
Procedure line ( x1, y1,           { začiatkový bod }
                 x2, y2,           { koncový bod }
                 colour : integer ); { farba vykreslenej úsečky }

var dx, dy, x, y, m: real;
begin
  dx := x2 - x1;
  dy := y2 - y1;
  if abs(dx) > abs(dy) then
    begin
      { oktanty 1, 4, 5, 8 }
      { zameň body, aby prvý bod bol ľavo }
      if x1 > x2 then swap;
      if y1 < y2 then Yinc := 1;
      else Yinc := -1;
      begin
        { generovanie úsečky pre 1. oktant }
        DDA_Line1(x1, y1, x2, y2, colour);
      end;
    end;
  else begin
    { abs(dx) < abs(dy), t.j. oktanty 2, 3, 6, 7 }
  
```

Obr. 5.2 Rozklad úsečky do rastra

$$d(P(i)) = (x_i^2 + y_i^2) - r^2.$$



Obr. 5.3 Symetria kružnice a rozklad kružnice do rastra podľa hodnôt s a t

Bresenhamov algoritmus úsečky

```

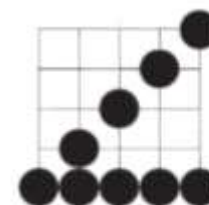
procedure Bres_line ( x1, y1,          { začiatkový bod }
                      x2, y2,          { koncový bod }
                      colour: integer ); { farba vykreslenej úsečky }

var dx, dy, d, incr1, incr2, x, y, m : integer;
begin
  dx:= abs(x2 - x1); dy:= abs(y2 - y1);
  d:= 2*dy - dx;          { začiatková hodnota d }
  incr1:= 2*dy;          { prírastok pre d < 0 horizontálne }
  incr2:= 2*(dy-dx);     { prírastok pre d ≥ 0 diagonálne }
  if x1 > x2 then begin x:= x2 ; y:= y2 ; xend:= x1 end
  else begin x:= x1 ; y:= y1 ; xend:= x2 end;
  write_pixel (x, y, colour); { vykresli 1. bod }
  while x < xend do
    begin
      x:= x + 1 ;
      if d < 0 then d:= d + incr1 { vyber bod S(i), horizontálne }
      else begin
        y:= y + 1 ;
        d:= d + incr2; { vyber bod T(i), diagonálne }
      end
      write_pixel (x, y, colour); { vykresli bod }
    end
end.

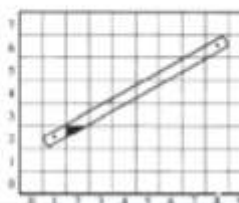
```

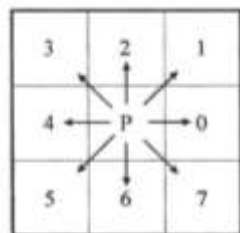
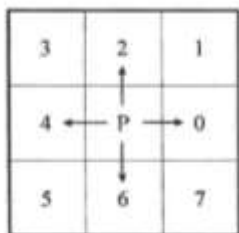


Obr. 5.4 Aliasing úsečiek

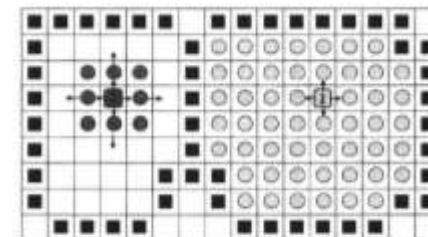


Na obrázku 5.5 je zobrazená úsečka nenulovej hrúbky, položená do rastra. Rastrová sieť je posunutá tak, aby mrežové body ležali vo vnútri každého obdĺžnika siete a nie v priesečníkoch mrežky. Každý obrazový bod je zobrazený obdĺžnikom.





Obr. 5.7 Susednosť (4 a 8) v štvorcovom rastru pre bod P



Obr. 5.8 Vypĺňanie oblastí farbou zadaného vnútorného bodu

Algoritmus vlnového vypĺňania *Flood fill*

```

procedure Flood_fill_4 ( x, y,           { začiatočný vnútorný bod vypĺňania oblasti }
                        old_colour,      { stará farba oblasti }
                        new_colour : integer); { nová farba oblasti }
begin
  if read_pixel (x,y) = old_colour then
    begin
      write_pixel (x, y, new_colour);
      Flood_fill_4 (x, y-1, old_colour, new_colour);
      Flood_fill_4 (x, y+1, old_colour, new_colour);
      Flood_fill_4 (x-1, y, old_colour, new_colour);
      Flood_fill_4 (x+1, y, old_colour, new_colour);
    end
  end
end.

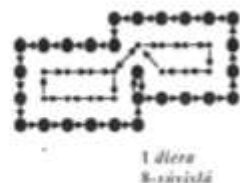
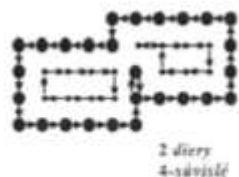
```

Algoritmus vypĺňania do hraničných bodov *Bound fill 4*

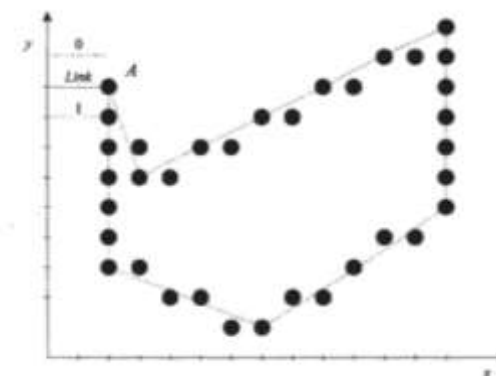
```

procedure Bound_fill_4 ( x, y,           { začiatočný bod vypĺňania oblasti }
                        bound_colour,    { farba hranice oblasti }
                        new_colour : integer); { nová farba oblasti }
begin
  if read_pixel (x, y) ≠ bound_colour and read_pixel (x, y) ≠ new_colour
  then begin
    write_pixel (x, y, new_colour);
    Bound_fill_4 (x, y-1, old_colour, new_colour);
    Bound_fill_4 (x, y+1, old_colour, new_colour);
    Bound_fill_4 (x-1, y, old_colour, new_colour);
    Bound_fill_4 (x+1, y, old_colour, new_colour);
  end
end.

```



Obr. 5.9 Vypĺňanie podľa 4-súvislosti a 8-súvislosti

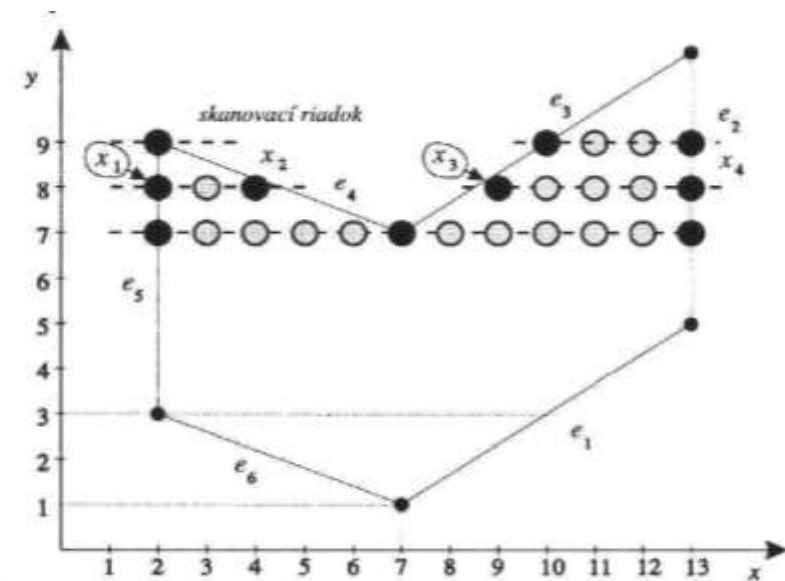


Obr. 5.11 Nekorektná hranica pre algoritmus vypĺňania podľa parity

Algoritmus vypíňania podľa parity *Parity fill*

```
procedure Parity_fill;
var x, y, Xmax, Ymax, par, error_flag,
    nad, pod, bound_colour, ab: integer;
begin
  for y:= 1 to Ymax do                { pre všetky riadky }
  begin
    par:= 0; error_flag:= 0;           { inicializácia premenných *}
    nad:= 0; pod:= 0; x:= 1;
    while x <= Xmax do
    begin
      if (h[x, y] ≠ bound_colour) then
      begin
        if (Odd(par)) then Fill_Pixel(x, y); { vyplň *}
        x:= x + 1;                          { posuň *}
      end
      else
      begin
        Link_4(x, y, nad, pod);             { zisti lokálne správanie hranice *}

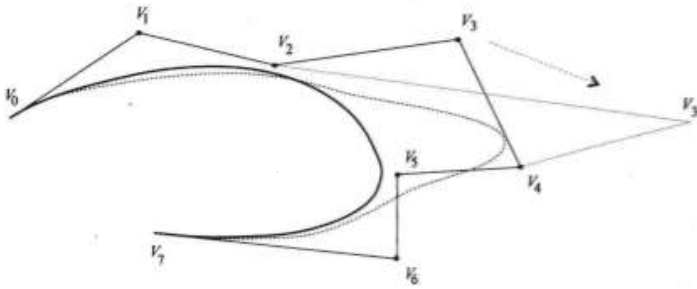
        if ((nad=1) and (pod=1)) then par:= par + 1;
        ab:= nad + pod;
        if ((ab ≠ 0) or (ab ≠ 2)) then error_flag:= 1;
      end
    end;
  end;
  if (error_flag ≠ 0) then Title('Error in boundary'); { vypíš chybovú správu }
end;
```



Obr. 5.13 Skanovací riadok pre rozklad mnohoúhelníka do rastra

Algoritmus Scan_Line

1. Skrátíme zdola hrany naväzujúce vo vrchole monotónneho spojenia.
2. Vylúčime vodorovné hrany.
3. V cykle od minimálnej po maximálnu súradnicu y mnohoúhelníka:
 - 3.1 Nájdeme priesečníky skanovacej priamky so všetkými hranami.
 - 3.2 Usporiadame priesečníky podľa x-ovej súradnice.
 - 3.3 Vykreslíme všetky body, ktoré sú medzi dvojicami za sebou.
4. Vykreslíme hranicu mnohoúhelníka.



Obr. 4.3 Zmena riadiaceho polygónu Bézierovej krivky

Sformulujeme niektoré vlastnosti Bézierových kriviek :

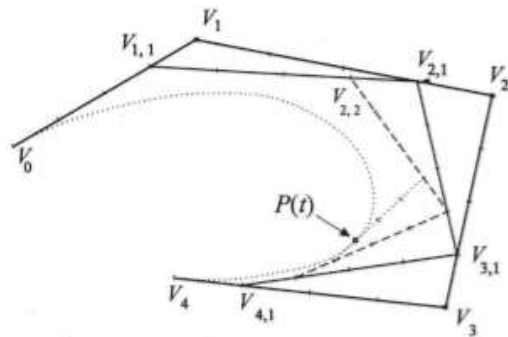
1. Začiatočným bodom Bézierovej krivky je bod V_0 a krivka sa v tomto bode dotýka priamky V_0V_1 . Podobne koncovým bodom krivky je bod V_n a krivka sa v tomto bode dotýka priamky $V_{n-1}V_n$.

2. Bézierova krivka je krivkou stupňa n (pre daných $n+1$ bodov). Polynómi stupňa n , pre veľké n , sú numericky nestabilné a takisto aj Bézierová krivka stupňa n . Z toho dôvodu sa začali používať splajnové krivky nižšieho stupňa.

3. Na obr. 4.4 je ukázaná podstata tzv. algoritmu Casteljau. Určenie bodu krivky $P(t)$ pre parameter t vykonáme postupným iteratívnym delením úsečiek riadiaceho polygónu pomerom závislým od parametru t . Na obrázku 4.4 sú znázornené tieto úsečky, kde pomer delenia je pre parameter $t = 0.75$ a $n = 4$. V každom i -tom priblížení definujeme body

$$V_{j,i} = (1-t) \cdot V_{j-1,i-1} + t \cdot V_{j,i-1},$$

pre $i = 1, 2, 3, 4$ a $j = i, \dots, 4$ a hľadaný bod je $P(t) = V_{4,4}$.



Obr. 4.4 Algoritmus de Casteljau

Zobrazenie t sa často definuje tabuľkou s celočíselnými hodnotami. Môžu to byť obrázky zosnímané skenerom alebo vytvorené grafickým editorom, ktoré ukladajú informáciu v diskretnej podobe. Inverzné zobrazenie mapuje do oblasti D , vo všeobecnosti reálnymi hodnotami, preto musíme vedieť interpolovať chýbajúce hodnoty. Najčastejšie sa využíva **bilinéarna interpolácia**.

Chceme získať hodnotu $t(x, y)$, preto označme najbližšie hodnoty nasledovne:

$\lfloor x \rfloor$ - zaokrúhlenie smerom dole na celočíselnú hodnotu a

$\lceil x \rceil$ - zaokrúhlenie smerom hore,

$$t_{11} = t(\lfloor x \rfloor, \lfloor y \rfloor), \quad t_{12} = t(\lfloor x \rfloor, \lceil y \rceil),$$

$$t_{21} = t(\lceil x \rceil, \lfloor y \rfloor), \quad t_{22} = t(\lceil x \rceil, \lceil y \rceil).$$

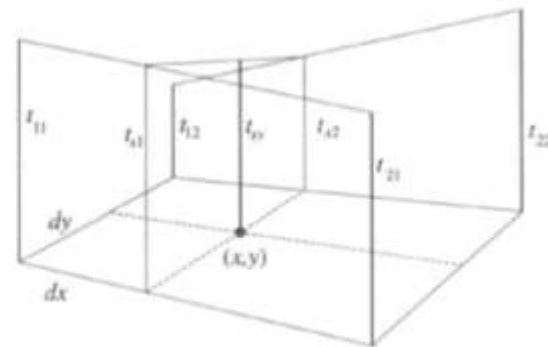
Z obrázku 15.2 vidíme ako vypočítať hodnotu $t(x, y)$ pomocou interpolácie:

$$t_{x1} = t_{11}(1-dx) + t_{21}(dx), \quad t_{x2} = t_{12}(1-dx) + t_{22}(dx),$$

$$t(x, y) = t_{x1}(1-dy) + t_{x2}(dy).$$

Po úprave

$$t(x, y) = t_{11} + (t_{12} - t_{11})dy + [t_{21} - t_{11} + (t_{11} - t_{12} - t_{21} + t_{22})dy]dx$$



Obr. 15.2 Výpočet interpolovanej hodnoty $t(x, y)$